

О комбинации квантовых алгоритмов перечисления и поиска на примере квантового разностного метода

Денисенко Д.В., Никитенкова М.В., Рудской В.И.

18 марта 2020 г.

Структура доклада

- 1 О моделях Q1 и Q2. Квантовые алгоритмы поиска и перечисления.
- 2 О квантовом разностном методе.
- 3 О комбинации квантовых алгоритмов перечисления и поиска.

Модели Q1 и Q2 квантовых вычислений [5, 6, 7, 8]

Q1

Standard security: a block cipher is standard secure against quantum adversaries if no efficient quantum algorithm can distinguish the block cipher from PRP (or a PRF) by making only classical queries.

Quantum circuit for classical values.

Example: breaking RSA with Shor's algorithm.

Q2

Quantum security: a block cipher is quantum secure against quantum adversaries if no efficient quantum algorithm can distinguish the block cipher from PRP (or a PRF) even by making quantum queries.

Superposition queries access quantum circuit implementing the primitive with a secret key.

Example: breaking CBC MAC with Simon's algorithm.

Квантовые алгоритмы. Алгоритм Гровера.

Пусть $N = 2^n$, требуется «найти» какое-либо из M , $M < N/2$ возможных решений.

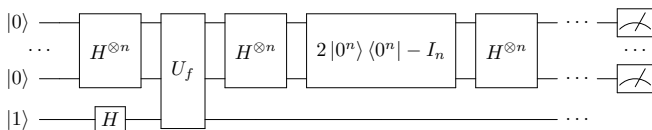


Рис. 1: Итерация Гровера «G» относительно булевой функции f .

- Пусть $|\alpha\rangle \equiv \frac{1}{\sqrt{N-M}} \sum_x'' |x\rangle$, $|\beta\rangle \equiv \frac{1}{\sqrt{M}} \sum_x' |x\rangle$, тогда $|\psi\rangle = \sqrt{\frac{N-M}{N}} |\alpha\rangle + \sqrt{\frac{M}{N}} |\beta\rangle$.
- $|\psi\rangle = \cos(\frac{\theta}{2}) |\alpha\rangle + \sin(\frac{\theta}{2}) |\beta\rangle$, при измерении $|\psi\rangle$ вероятность получить какое-либо из M возможных решений равна $\sin^2(\frac{\theta}{2})$.
- После k итераций Гровера получим состояние

$$G^k |\psi\rangle = \cos\left(\frac{2k+1}{2}\theta\right) |\alpha\rangle + \sin\left(\frac{2k+1}{2}\theta\right) |\beta\rangle.$$

Квантовое перечисление (QC)

Задача: дана случайная булева функция $f : V_n \rightarrow V_1$, требуется оценить $M = |f^{-1}(1)|$ – количество аргументов, на которых рассматриваемая булева функция принимает значение 1.

С помощью квантовой схемы на рис. 2 можно оценить $\theta = 2 \arcsin \sqrt{M/N}$.

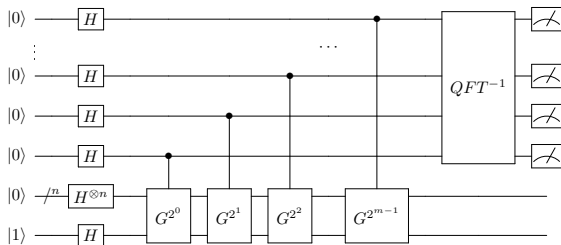


Рис. 2: Квантовая схема для алгоритма определения угла поворота θ итерации Гровера G . Регистр управления содержит m кубитов.

При $m \approx n/2$ получим оценку $|f^{-1}(1)|$ с заданным уровнем погрешности и вероятностью успеха не менее $4/\pi^2 = 0.405285$.

Квантовое перечисление (пример из [12])

$$f(x_1, x_2, x_3, x_4, x_5, x_6) = x_1 x_2 x_3 x_4 x_5, \quad M = \|f\| = 2, \quad N = 2^6,$$

$\theta = 2 \arcsin \sqrt{M/N} = 0.355421$. В верхнем регистре 5 кубитов, т.е. $m = 5$.

В базисе $|\alpha\rangle, |\beta\rangle$ $G = \begin{pmatrix} \cos \theta & -\sin \theta \\ \sin \theta & \cos \theta \end{pmatrix}$, собств. числа равны $e^{i\theta}$ и $e^{i(2\pi-\theta)}$.

| Значение первого регистра $ x\rangle$ | Вероятность получить $ x\rangle$ | $\tilde{\theta}$ | $ \theta - \tilde{\theta} $ | \tilde{M} | $ M - \tilde{M} $ |
|---------------------------------------|----------------------------------|------------------|-----------------------------|-------------|-------------------|
| 01011 | 0.000480423 | 0.34375 | 0.0116712 | 1.87208 | 0.127919 |
| 01100 | 0.000480423 | 0.375 | 0.0195788 | 2.22376 | 0.223756 |
| 01010 | 0.00128371 | 0.3125 | 0.0429212 | 1.54983 | 0.450174 |
| 01101 | 0.00128371 | 0.40625 | 0.0508288 | 2.60451 | 0.604507 |
| 01001 | 0.444656 | 0.28125 | 0.0741712 | 1.2573 | 0.742696 |
| 01110 | 0.444656 | 0.4375 | 0.0820788 | 3.01396 | 1.01396 |
| 01000 | 0.000331911 | 0.25 | 0.105421 | 0.994803 | 1.0052 |
| 01111 | 0.000331911 | 0.46875 | 0.113329 | 3.45172 | 1.45172 |
| 00111 | 0.000378872 | 0.21875 | 0.136671 | 0.762577 | 1.23742 |
| 10000 | 0.000321445 | 0.5 | 0.144579 | 3.91736 | 1.91736 |
| 00110 | 0.00391337 | 0.1875 | 0.167921 | 0.560854 | 1.43915 |
| ⋮ | ⋮ | ⋮ | ⋮ | ⋮ | ⋮ |
| 11100 | 0.000568263 | 0.875 | 0.519579 | 11.4881 | 9.4881 |
| 11101 | 0.00091356 | 0.90625 | 0.550829 | 12.2655 | 10.2655 |
| 11110 | 0.0264812 | 0.9375 | 0.582079 | 13.0622 | 11.0622 |
| 11111 | 0.000321445 | 0.96875 | 0.613329 | 13.8774 | 11.8774 |

Таблица 1: Если $t = 2$, то сумма вероятностей по тем строкам у которых погрешность $|\theta - \tilde{\theta}| < 0.25$ равна **0.930373** (с 1 по 16 строку). Если $t = 3$, то сумма вероятностей по тем строкам у которых погрешность $|\theta - \tilde{\theta}| < 0.125$ равна **0.893504** (с 1 по 8 строку).

Квантовый разностный метод

Поиск разностных (и линейных) соотношений – квантовые алгоритмы Бернштейна-Вазирани и Саймона (см. [1], [2], [3]). Поиск итерационных ключей описан в [4], [5].

- Для $E : V_n \times V_m \rightarrow V_m$, $C = E(key, P)$, известно разностное соотношение (a, b) с характеристикой $p_{(a,b)}$. Предполагается, что на истинном ключе key :

$$P(E(key, P) \oplus E(key, P \oplus a) = b) = p_{(a,b)}, \quad p_{(a,b)} = \max_{a,b \in V_m \setminus \vec{0}} p_{(a,b)}.$$

- Известно N пар (P_i, C_i) , полученных на ключе key . Необходимо по заданному разностному (линейному) соотношению (a, b) и имеющемуся материалу восстановить key .
- Согласно [4], трудоёмкость поиска итерационных ключей составляет $O(\sqrt{N}) + O(\sqrt{K})$, в то время как трудоёмкость классического разностного метода авторы [4] оценивают величиной $O(N) + O(K)$, при этом длина итерационного ключа равна $\log_2 K$ бит.

Восстановление итерационных ключей [4]

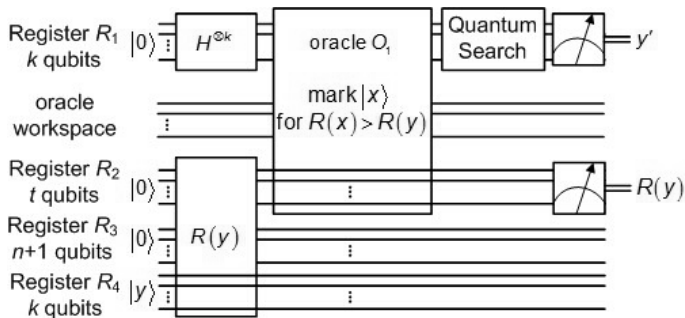


Рис. 3: Schematic circuit for the quantum differential cryptanalysis

Восстановление итерационных ключей [4]

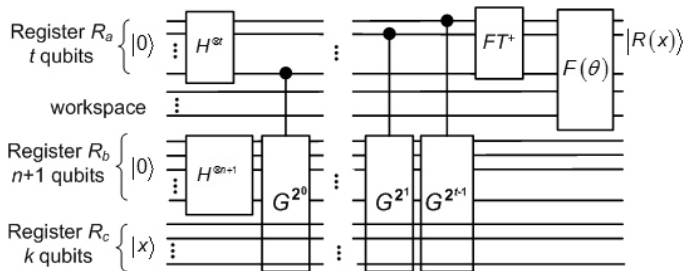


Рис. 4: Circuit for calculating $R(x)$

Комбинация алгоритмов перечисления и поиска

1. Корректная схема реализации одной итерации Гровера представлена на рисунке 5.

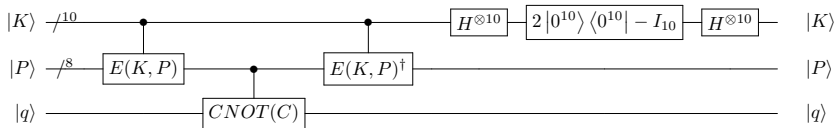


Рис. 5: Реализация одной итерации алгоритма Гровера в задаче поиска ключа учебного алгоритма шифрования SDES (см. [9]).

2. Чтобы «инверсия относительно среднего» увеличила амплитуду вероятности искомого секретного ключа, необходимо на каждой итерации алгоритма Гровера реализовывать $E(K, P)$ и $E(K, P)^{\dagger}$.

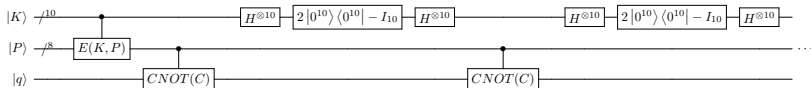


Рис. 6: Неправильная реализация итераций Гровера на примере поиска ключа SDES.

Комбинация алгоритмов перечисления и поиска

3. Следовательно, для приготовления $\sum_{K_1} \frac{1}{\sqrt{2^k}} |K_1\rangle \left| \tilde{\theta}_{K_1} \right\rangle$ **квантовое перечисление и его обращение должны выполняться на каждой итерации Гровера!**

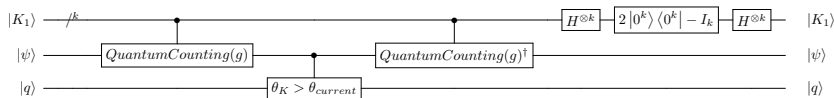


Рис. 7: Реализация одной итерации алгоритма Гровера с использованием квантового перечисления в качестве «подпрограммы».

Вывод

- Квантовое перечисление в качестве «подпрограммы» алгоритма Гровера нивелирует квантовое ускорение, т.к.

$$O(\sqrt{K}) \cdot O(\sqrt{K}) \approx O(K).$$

- Вероятность успеха алгоритма Гровера следует умножить на $\left(\frac{4}{\pi^2}\right) \left[\frac{\pi}{4} \sqrt{\frac{K}{M}}\right]$.

Спасибо за внимание.

- [1] Hong-Wei Li, Li Yang. *Quantum differential cryptanalysis to the block ciphers*. <https://arXiv.org/pdf/1511.08800.pdf>, 2015.
- [2] Hong-Wei Li, Li Yang. A quantum algorithm to approximate the linear structures of Boolean functions. DOI:10.1017/S0960129516000013, <https://arxiv.org/abs/1404.0611>, 2015.
- [3] Huiqin Xie, Li Yang. Using Bernstein-Vazirani algorithm to attack block ciphers, arXiv:1711.00853v3 [quant-ph], 2018.
- [4] Zhou Q., Lu S., Zhang A., Sun J. *Quantum differential cryptanalysis*,. <https://arxiv.org/abs/1811.09931>, 2019.
- [5] Kaplan M., Leurent G., Leverrier A., Naya-Plasencia M. Quantum Differential and Linear Cryptanalysis. IACR Transactions on Symmetric Cryptology, 2016, 71-94. <https://doi.org/10.13154/tosc.v2016.i1.71-94>; FSE 2017. <http://www.iacr.org/workshops/fse2017/slides/10-03.pdf>
- [6] Huiqin Xie, Li Yang *Quantum impossible differential and truncated differential cryptanalysis*, arXiv:1712.06997v2 [quant-ph], 2018.
- [7] Akinori Hosoyamada and Yu Sasaki. Cryptanalysis against Symmetric-Key Schemes with Online Classical Queries and Offline Quantum Computations. <https://eprint.iacr.org/2017/977.pdf>.

- [8] Xavier Bonnetain, Akinori Hosoyamada, Maria Naya-Plasencia, Yu Sasaki and Andre Schrottenloher. Quantum Attacks without Superposition Queries: the Offline Simon's Algorithm.
<https://eprint.iacr.org/2019/614.pdf>
- [9] Денисенко Д.В., Никитенкова М.В. *Применение квантового алгоритма Гровера в задаче поиска ключа блочного шифра SDES*. ЖЭТФ, том 155, вып. 1, 2019. DOI:10.1134/S0044451019010036.
- [10] Денисенко Д.В., Маршалко Г.Б., Никитенкова М.В., Рудской В.И., Шишкин В.А. *Оценка сложности реализации алгоритма Гровера для перебора ключей алгоритмов блочного шифрования ГОСТ Р 34.12-2015*. ЖЭТФ, том 155, вып. 4, 2019, DOI:10.1134/S0044451019040072.
- [11] Денисенко Д.В. *О реализации подстановок в виде квантовых схем без использования дополнительных кубитов*, ЖЭТФ, том 155, вып. 5, 2019. DOI: 10.1134/S004445101906004X.
- [12] Денисенко Д.В. *Применение алгоритма квантового перечисления для оценки веса булевых функций в квантовом симуляторе Quipper*, готовится к печати в ЖЭТФ, 2020.